

偏微分方程数值解法

任课教师：黄忠亿

清华大学数学科学系



目录

① 常微分方程数值解

② 偏微分方程及其差分方法基础知识

- 偏微分方程基本概念
- 有限差分方法的基本概念
- 有限差分格式的相容性、稳定性和收敛性
- 研究差分格式稳定性的方法简介



典型偏微分方程

$$\text{记 } \nabla = \mathbf{e}_1 \frac{\partial}{\partial x_1} + \cdots + \mathbf{e}_n \frac{\partial}{\partial x_n}, \quad \Delta = \nabla \cdot \nabla = \frac{\partial^2}{\partial x_1^2} + \cdots + \frac{\partial^2}{\partial x_n^2}.$$

其中 $\mathbf{e}_i \in \mathbb{R}^n$ 为标准基向量 ($i = 1, \cdots, n$).

例 2.1 (Laplace 方程: $\Delta u = 0$)

这里 $u(\mathbf{x})$ 称为调和函数, 通常用于描述稳定的浓度分布或者 (无源无汇) 温度分布等, 或者 (无源的) 电势场等等.

例 2.2 (Poisson 方程: $-\Delta u = f(\mathbf{x})$)

即例2.1问题有源的情形. 更一般的形式为

$$- [\partial_{x_1} (k_1(\mathbf{x}) \partial_{x_1} u) + \cdots + \partial_{x_n} (k_n(\mathbf{x}) \partial_{x_n} u)] = f(\mathbf{x}), \quad \mathbf{x} \in \mathbb{R}^n.$$

或者记为
$$-\sum_{i=1}^n \frac{\partial}{\partial x_i} \left(k_i(\mathbf{x}) \frac{\partial u}{\partial x_i} \right) = f(\mathbf{x}).$$

若 $k_i(\mathbf{x}) \equiv k(\mathbf{x})$, 则可写成 $-\nabla \cdot (k(\mathbf{x}) \nabla u(\mathbf{x})) = f(\mathbf{x}).$

典型偏微分方程

例 2.3 (波动方程: $\frac{\partial^2 u}{\partial t^2} = a^2 \Delta u + F(t, \mathbf{x})$)

u ---位移, F ---外力.

描述像声波、弹性波、光波等的传播, 或者弦的振动等.

例 2.4 (扩散 (热传导) 方程)

$$\frac{\partial u}{\partial t} = \left[\frac{\partial}{\partial x_1} (k_1(\mathbf{x}) \frac{\partial u}{\partial x_1}) + \cdots + \frac{\partial}{\partial x_n} (k_n(\mathbf{x}) \frac{\partial u}{\partial x_n}) \right] + F(t, \mathbf{x})$$

u — 扩散物质浓度 (或温度场), k_i — 各方向的扩散 (传热) 系数.

若 $k_1 = \cdots = k_n \equiv k(\mathbf{x})$, 各向同性情形: $\frac{\partial u}{\partial t} = \nabla \cdot [k \nabla u] + F$.

如果这里的 u, F 与时间 t 无关, 则回到定常 (例 2.2) 情形.

例 2.5 (对流扩散方程 (物质在流场中的扩散))

$$\frac{\partial u}{\partial t} + \vec{a} \cdot \nabla u = \nabla \cdot [k(\mathbf{x}) \nabla u] + F(t, \mathbf{x}).$$

典型偏微分方程

例 2.6 (对流方程 (忽略上述扩散过程))

$$\frac{\partial u}{\partial t} + \vec{a} \cdot \nabla u = F(t, \mathbf{x}).$$

例 2.7 (双调和方程---描述板、壳)

$$\Delta^2 u = 0, \quad \text{这里} \quad \Delta^2 = \Delta \cdot \Delta \equiv \sum_{i=1}^n \sum_{j=1}^n \frac{\partial^4}{\partial x_i^2 \partial x_j^2}.$$

例 2.8 (Navier-Stokes 方程组)

描述三维不可压流体的运动方程

$$\begin{cases} \frac{\partial \mathbf{u}}{\partial t} + \mathbf{u} \cdot \nabla \mathbf{u} = -\frac{1}{\rho} \nabla p + \nu \Delta \mathbf{u}, \\ \nabla \cdot \mathbf{u} = 0. \end{cases}$$

$\mathbf{u} = (u_1, u_2, u_3)^T \in \mathbb{R}^3$ 为速度场, p — 压力, ρ — 密度, ν — 粘性系数

这是一个非线性方程组.

定解条件（初始、边界条件）与定解问题

对于一个偏微分方程 (组), 我们通常都是研究它在一定特定条件下的解. 这些条件称之为**定解条件**. 通常包括初始条件 (对于时间发展问题) 和边界条件 (或无穷远处条件).

给定了方程 (组) 与定解条件, 就构成了一个**定解问题**.

- **初始条件**: 对于时间发展问题, 必须考虑到研究对象的特定“历史”, 即追溯到早先某个“初始”时刻的状态, 即**初始条件**.

注意, 对于**适定问题**, 初始条件应当给出**整个系统**的初始状态, 而不仅仅是系统中个别点的初始状态.

对于**输运问题**(扩散、传热过程等), 初始状态指的是研究对象 u 的**初始分布**(初始浓度、温度等), 即 $u(t, \mathbf{x})|_{t=0} = u_0(\mathbf{x})$.



定解条件（初始、边界条件）与定解问题

对于振动过程(细杆、弦、膜的振动等, 声波、弹性波、电磁波等的传播), 不仅要给出“初始位移”:

$$u(t, \mathbf{x})|_{t=0} = u_0(\mathbf{x}),$$

还要给出“初始速度”:

$$\frac{\partial u}{\partial t}(t, \mathbf{x})|_{t=0} = v_0(\mathbf{x}).$$

从数学上看, 对于输运过程, 方程中只出现所研究物理量在时间变量 t 的一阶偏导数, 因而只需要一个初始条件.

而振动过程中出现了关于 t 的二阶偏导数, 是关于时间的二阶偏微分方程, 因而需要两个初始条件.



定解条件（初始、边界条件）与定解问题

- **边界条件**：研究具体的系统，还必须考虑研究对象所处的特定“环境”。而周围的环境的影响通常体现为边界上的物理状况，即**边界条件**。

常见的边界条件在数学上分为三类：

- ① 第一类边界条件：**直接给定所研究物理量 u 在边界 Σ 上的值**：

$$u|_{\Sigma} = f(z, t), \quad z \in \Sigma.$$

例如考虑弦的振动，若两端固定，则位移为零，即

$$u|_{x=0} = u|_{x=l} = 0.$$

又如考虑传热问题，若细杆两端保持温度恒定，则可以为

$$u|_{x=a} = u_1, \quad u|_{x=b} = u_2.$$



定解条件（初始、边界条件）与定解问题

- ② 第二类边界条件：规定了研究物理量在边界上的法向导数值，即

$$\left. \frac{\partial u}{\partial \mathbf{n}} \right|_{\Sigma} = f(z, t), \quad z \in \Sigma.$$

例如细杆传热问题，若细杆两端是绝热情况，即没有热量流入流出，则为

$$\left. \frac{\partial u}{\partial \mathbf{n}} \right|_{x=a} = \left. \frac{\partial u}{\partial \mathbf{n}} \right|_{x=b} = 0.$$

- ③ 第三类边界条件：给定了法向导数和函数值的一个线性组合值，即

$$\left(\alpha u + \beta \frac{\partial u}{\partial \mathbf{n}} \right) \Big|_{\Sigma} = f(z, t), \quad z \in \Sigma.$$

这里 $\alpha, \beta \in \mathbb{R}$ 为给定常数.



定解条件（初始、边界条件）与定解问题

例如对于细杆传热问题, 若细杆一端保持“自由冷却”, 即其流出的热流强度 $(-k \frac{\partial u}{\partial n})$ 与其跟环境的温度差 $(u|_{x=a} - \theta, \theta$ 为周围环境的温度) 成正比, 即: $-k \frac{\partial u}{\partial n} \Big|_{x=a} = \alpha(u|_{x=a} - \theta)$. 整理一下即为 $(\alpha u + k \frac{\partial u}{\partial n}) \Big|_{x=a} = \alpha \theta$.

有些问题会满足更复杂的非线性边界条件 (依物理规律而定).

每一点处边界条件的个数依方程性质而定: 二阶问题每点给一个边界条件; 四阶问题每点给两个边界条件; 一阶问题只能给来流处的边界条件.

无界区域上的问题 (如绕流问题) 必须给定无穷远处的解的约束条件, 否则会解不唯一. 如在无界区域: $\mathbb{R}^3 \setminus$ 单位球, $u(\mathbf{x}) = 1$ 或 $\frac{1}{|\mathbf{x}|}$ 均满足 $\Delta u = 0$, 且在单位球面上均为 1.



特征方程、特征线及方程分类

下面想对偏微分方程做一个分类, 将重点研究二阶偏微方程.

考虑如下一般形式的拟线性二阶偏微分方程:

$$(2.1) \quad \sum_{i,j=1}^n a_{ij} \frac{\partial^2 u}{\partial x_i \partial x_j} + \sum_{j=1}^n b_j \frac{\partial u}{\partial x_j} + cu = f.$$

这里 a_{ij}, b_j, c, f 可以是 $\mathbf{x} = (x_1, \dots, x_n)$, u 及 $\frac{\partial u}{\partial x_i}$ 的函数 (注: 时间变量 t 可以看成这里的某个 x_i , 例如可设 $x_n = t$).

一般设 $a_{ij} = a_{ji}$, $(i, j = 1, \dots, n)$ 即 $A = (a_{ij})_{n \times n}$ 为对称阵.

- 若 A 的所有特征值同号, 则称 (2.1) 为椭圆方程;
- 若 A 的一个特征值为零, 其余同号, 则称 (2.1) 为抛物方程;
- 若 A 的一个特征值与其余 $n-1$ 个异号, 则称 (2.1) 为双曲方程;
- 其他情形一般统称 (2.1) 为超双曲情形.



两变量二阶拟线性方程

下面主要考虑两变量的二阶方程: 设 $u = u(x, y)$, 这里 y 可以是时间变量 t . 记 $\mathbf{p} = (u, u_x, u_y)$, 两变量的二阶拟线性偏微方程为

$$(2.2) \quad a(x, y, \mathbf{p}) \frac{\partial^2 u}{\partial x^2} + 2b(x, y, \mathbf{p}) \frac{\partial^2 u}{\partial x \partial y} + c(x, y, \mathbf{p}) \frac{\partial^2 u}{\partial y^2} + f(x, y, \mathbf{p}) = 0.$$

「如果 a, b, c 均与 \mathbf{p} 无关, 且

$$f(x, y, \mathbf{p}) = d(x, y) \frac{\partial u}{\partial x} + e(x, y) \frac{\partial u}{\partial y} + r(x, y)u + s(x, y),$$

则称 (2.2) 为线性方程.」这样我们有

- $b^2 - ac < 0$ — 称(2.2)为椭圆方程;
- $b^2 - ac > 0$ — 称(2.2)为双曲方程;
- $b^2 - ac = 0$ — 称(2.2)为抛物方程.



两变量二阶拟线性方程---标准形式

对于线性问题

$$(2.3) \quad a(x, y) \frac{\partial^2 u}{\partial x^2} + 2b(x, y) \frac{\partial^2 u}{\partial x \partial y} + c(x, y) \frac{\partial^2 u}{\partial y^2} \\ + d(x, y) \frac{\partial u}{\partial x} + e(x, y) \frac{\partial u}{\partial y} + r(x, y)u + s(x, y) = 0.$$

如果做自变量替换

$$(2.4) \quad \begin{cases} \xi = \xi(x, y), \\ \eta = \eta(x, y). \end{cases} \quad \text{设 Jacobi 矩阵 } \frac{\partial(\xi, \eta)}{\partial(x, y)} \text{ 非奇异.}$$

通过变量替换 (2.4), $u(x, y)$ 变成 (ξ, η) 的函数.

简单计算复合函数求导数, 我们有



两变量二阶拟线性方程---标准形式

$$(2.5) \quad \begin{cases} u_x = u_\xi \cdot \xi_x + u_\eta \cdot \eta_x, \\ u_y = u_\xi \cdot \xi_y + u_\eta \cdot \eta_y, \\ u_{xx} = u_{\xi\xi} \cdot \xi_x^2 + 2u_{\xi\eta} \cdot \xi_x \eta_x + u_{\eta\eta} \eta_x^2 + u_\xi \cdot \xi_{xx} + u_\eta \cdot \eta_{xx}, \\ u_{yy} = u_{\xi\xi} \cdot \xi_y^2 + 2u_{\xi\eta} \cdot \xi_y \eta_y + u_{\eta\eta} \eta_y^2 + u_\xi \cdot \xi_{yy} + u_\eta \cdot \eta_{yy}, \\ u_{xy} = u_{\xi\xi} \xi_x \xi_y + u_{\xi\eta} (\xi_x \eta_y + \xi_y \eta_x) + u_{\eta\eta} \eta_x \eta_y + u_\xi \xi_{xy} + u_\eta \eta_{xy}. \end{cases}$$

将 (2.5) 代入 (2.3) 就有

$$(2.6) \quad A_{11}u_{\xi\xi} + 2A_{12}u_{\xi\eta} + A_{22}u_{\eta\eta} + B_1u_\xi + B_2u_\eta + Cu + F = 0.$$

这些系数 A_{ij}, B_j, C, F 为



两变量二阶拟线性方程---标准形式

$$(2.7) \quad \left\{ \begin{array}{l} A_{11} = a\xi_x^2 + 2b\xi_x\xi_y + c\xi_y^2, \\ A_{12} = a\xi_x\eta_x + b(\xi_x\eta_y + \xi_y\eta_x) + c\xi_y\eta_y, \\ A_{22} = a\eta_x^2 + 2b\eta_x\eta_y + c\eta_y^2, \\ B_1 = a\xi_{xx} + 2b\xi_{xy} + c\xi_{yy} + d\xi_x + e\xi_y, \\ B_2 = a\eta_{xx} + 2b\eta_{xy} + c\eta_{yy} + d\eta_x + e\eta_y, \\ C = r, \\ F = s. \end{array} \right.$$

如果取 $(\xi(x, y), \eta(x, y))$ 为偏微分方程

$$(2.8) \quad aZ_x^2 + 2bZ_xZ_y + cZ_y^2 = 0$$

的两个线性无关的解, 即有 $A_{11} = A_{22} = 0$.

这样方程 (2.6) 便可以形式上简化.



两变量二阶拟线性方程---特征方程

而方程 (2.8) 的求解可以转化为常微方程来求解.

不妨设 $Z_y \neq 0$, (2.8) 可改写成

$$(2.9) \quad a \left(-\frac{Z_x}{Z_y} \right)^2 - 2b \left(-\frac{Z_x}{Z_y} \right) + c = 0.$$

若把 $Z(x, y) = \text{constant}$ 当成定义隐函数 $y = y(x)$ 的方程, 则有 $\frac{dy}{dx} = -\frac{Z_x}{Z_y}$. 这样 (2.9) 即成为

$$(2.10) \quad a \left(\frac{dy}{dx} \right)^2 - 2b \frac{dy}{dx} + c = 0.$$

上述常微方程 (2.10) 称为二阶线性方程 (2.3) 的**特征方程**. 特征方程的通解形式 “ $\xi(x, y) = \text{const}$ ” 和 “ $\eta(x, y) = \text{const}$ ” 称为**特征线**.



两变量二阶拟线性方程---特征曲线

上面特征方程 (2.10) 可以分为两个方程 (一元二次方程两个解):

$$(2.11) \quad \begin{cases} \frac{dy}{dx} = \frac{b + \sqrt{b^2 - ac}}{a}, \\ \frac{dy}{dx} = \frac{b - \sqrt{b^2 - ac}}{a}, \end{cases}$$

根据方程分类 (即 $b^2 - ac$ 的情况), 我们知道

- 双曲方程在 $x - y$ 平面上有两族特征曲线;
- 抛物方程在 $x - y$ 平面上有一族特征曲线;
- 椭圆方程在 $x - y$ 平面上没有实特征曲线。

也可把 (2.10) 用弧长参数 s 表示 $(x, y) = (\phi_1(s), \phi_2(s))$:

$$(2.12) \quad a(\phi_2'(s))^2 - 2b\phi_1'(s)\phi_2'(s) + c(\phi_1'(s))^2 = 0.$$



两变量双曲方程---特征曲线与标准形式

对于双曲方程, (2.11) 式给出两族实特征线:

$$\xi(x, y) = \text{常数}, \quad \eta(x, y) = \text{常数}$$

这样在变换(2.4)中取 $\xi = \xi(x, y), \eta = \eta(x, y)$, 则 $A_{11} = A_{22} = 0$, 即方程(2.6) 变成

$$(2.13) \quad u_{\xi\eta} = -\frac{1}{2A_{12}}[B_1 u_\xi + B_2 u_\eta + Cu + F].$$

再做变换 $\begin{cases} \xi = \alpha + \beta \\ \eta = \alpha - \beta \end{cases}$ 或者说 $\begin{cases} \alpha = \frac{\xi+\eta}{2} \\ \beta = \frac{\xi-\eta}{2} \end{cases}$, 则 (2.13) 式成为

$$(2.14) \quad u_{\alpha\alpha} - u_{\beta\beta} = -\frac{1}{A_{12}}[(B_1 + B_2)u_\alpha + (B_1 - B_2)u_\beta + 2Cu + 2F].$$

(2.13) 或 (2.14) 式称为双曲方程的标准形式.



两变量双曲方程---特征曲线与标准形式

例如我们前面写的波动方程 (cf. 例 2.3) 即为(2.14)式形式:

$$u_{tt} - a^2 u_{xx} = F(t, x).$$

这里不妨设 $a > 0$, 可以得到其特征方程为

$$\frac{dt}{dx} = \pm \frac{1}{a}.$$

即波动方程过 (x, t) -平面每个点有两条特征线, 且其两族特征线为两族直线:

$$(2.15) \quad \begin{cases} x + at = \text{const}, \\ x - at = \text{const}. \end{cases}$$



两变量抛物方程---特征曲线与标准形式

对于抛物方程, 由于 $b^2 - ac = 0$, (2.11) 式给出同一方程

$$(2.16) \quad \frac{dy}{dx} = \frac{b}{a}.$$

这只给出一族实特征线 $\xi(x, y) = \text{常数}$. 若取 $\xi = \xi(x, y)$, 任取 $\eta = \eta(x, y)$ 为与 ξ 无关的函数代入 (2.7) 式有

$$A_{11} = \xi_y^2 \left[a \left(\frac{\xi_x}{\xi_y} \right)^2 + 2b \frac{\xi_x}{\xi_y} + c \right] \overset{\xi_x/\xi_y = -b/a}{=} \frac{\xi_y^2}{a} [b^2 - 2b^2 + ac] = 0,$$

$$A_{12} = \xi_y \left[a \frac{\xi_x}{\xi_y} \eta_x + b \left(\frac{\xi_x}{\xi_y} \eta_y + \eta_x \right) + c \eta_y \right] = \frac{\xi_y \eta_y}{a} [ac - b^2] = 0,$$

$$A_{22} = \eta_y^2 \left[a \left(\frac{\eta_x}{\eta_y} \right)^2 + 2b \frac{\eta_x}{\eta_y} + c \right] = \eta_y^2 \left[\sqrt{a} \frac{\eta_x}{\eta_y} \pm \sqrt{c} \right]^2, \text{ 与 } b \text{ 符号相同}$$



两变量抛物方程---特征曲线与标准形式

从上面表达式可以看出, 只需 $\frac{\eta_x}{\eta_y} \neq \mp \sqrt{\frac{c}{a}} = -\frac{b}{a} = \frac{\xi_x}{\xi_y}$,

即 $\eta(x, y)$ 不满足特征方程 (2.16), 就有 $A_{22} \neq 0$.

这样方程 (2.6) 成为

$$(2.17) \quad u_{\eta\eta} = -\frac{1}{A_{22}}[B_1 u_\xi + B_2 u_\eta + Cu + F].$$

这是抛物方程的标准形式. 如一维扩散方程、热传导方程等.

对于形如 $u_t - au_{xx} = F(t, x)$ 的抛物方程, 其特征方程为

$$\frac{dt}{dx} = 0,$$

即特征线为 $t = \text{const.}$



两变量椭圆方程---标准形式

对于椭圆方程, (2.11) 式给出两族复的特征线

$$\xi(x, y) = c, \quad \eta(x, y) = \bar{\xi} \text{ (共轭).}$$

若取 $\xi = \xi(x, y), \eta = \bar{\xi}$, 就有 $A_{11} = A_{22} = 0$, 即方程 (2.6) 成为

$$u_{\xi\eta} = -\frac{1}{2A_{12}}[B_1 u_\xi + B_2 u_\eta + Cu + F].$$

因其变量为复数, 一般会再做变换

$$\begin{cases} \xi = \alpha + i\beta \\ \eta = \alpha - i\beta \end{cases} \quad \text{即} \quad \begin{cases} \alpha = \frac{\xi+\eta}{2} \\ \beta = \frac{\xi-\eta}{2i} \end{cases}$$

即椭圆方程的标准形式为 (如 Poisson 方程等)

$$(2.18) \quad u_{\alpha\alpha} + u_{\beta\beta} = -\frac{1}{A_{12}}[(B_1 + B_2)u_\alpha + i(B_1 - B_2)u_\beta + 2Cu + 2F].$$

注意 $B_1 = \bar{B}_2$, 所以上面系数为实数.



一阶方程组

不失一般性, 仍只考虑两个自变量情形. 对 $(x, y) \in \Omega \subset \mathbb{R}^2$, 设 $u = (u_1, \dots, u_n)^T \in \mathbb{R}^n$, 每个 $u_i = u_i(x, y)$, $i = 1, \dots, n$. 再设 $F(x, y, u) \in \mathbb{R}^n$, $A(x, y, u) \in \mathbb{R}^{n \times n}$, 称

$$(2.19) \quad \frac{\partial u}{\partial y} - A(x, y, u) \frac{\partial u}{\partial x} + F(x, y, u) = 0$$

为一阶拟线性方程组. 若 A 与 u 无关, 则称为线性方程组.

对固定的 (x, y, u) ,

- 若矩阵 $A(x, y, u)$ 没有实的特征向量, 则称为椭圆型方程组;
- 若矩阵 $A(x, y, u)$ 有 n 个线性无关的实特征向量, 则称为双曲型方程组; 此时 $A(x, y, u)$ 有 n 个实特征值 (即 A 可对角化). 若 A 有 n 个互异的实特征值, 则称为严格双曲型方程组.



一阶方程组

如果 $x - y$ 平面上的曲线 $(x, y) = (\phi_1(s), \phi_2(s))$ 满足

$$(2.20) \quad \phi_1'(s) + \lambda(\phi_1(s), \phi_2(s), u(\phi_1, \phi_2))\phi_2'(s) = 0,$$

其中 $\lambda(x, y, u)$ 为 $A(x, y, u)$ 的特征值, 则称该曲线为 (2.19) 的特征线.

(2.20) 称为 (2.19) 的特征方程.

例 2.9 (Cauchy-Riemann 方程)

$$\begin{cases} \frac{\partial u_1}{\partial y} = -\frac{\partial u_2}{\partial x}, \\ \frac{\partial u_2}{\partial y} = \frac{\partial u_1}{\partial x}. \end{cases} \quad \text{令 } \mathbf{u} = \begin{pmatrix} u_1 \\ u_2 \end{pmatrix}, A = \begin{pmatrix} 0 & -1 \\ 1 & 0 \end{pmatrix}.$$

可写成 $\frac{\partial \mathbf{u}}{\partial y} = A \frac{\partial \mathbf{u}}{\partial x}$. 显然 A 的特征值为 $\pm i$, 即这是椭圆型方程组.



一阶方程组

例 2.10 (一维对流方程)

$$(2.21) \quad \frac{\partial u}{\partial t} - a \frac{\partial u}{\partial x} = 0.$$

即 $A = (a) \in \mathbb{R}^{1 \times 1}$, 这自然为双曲型方程组. 特征方程为

$$dx + a dt = 0,$$

有一族实特征曲线 $x + at = \text{const}$, 这是一族互相平行的直线.

沿着某一条特征线 $x + at = \xi$, (2.21) 的解 $u(x, t)$ 为常数, 因为

$$\frac{du}{dt} = \frac{\partial u}{\partial t} + \frac{\partial u}{\partial x} \frac{dx}{dt} = \frac{\partial u}{\partial t} - a \frac{\partial u}{\partial x} = 0.$$

即沿着这条特征线, $u(x, t) \equiv u(\xi - at, t) = \text{常数} = u(\xi, 0)$.

这样, 如果给定了初值 $u(x, t)|_{t=0} = u_0(x)$, 就可以写出解

$$u(x, t) = u_0(x + at).$$

二阶方程化为一阶方程组

例 2.11 (波动方程)

对于 $u_{tt} - u_{xx} = 0$, 如果令 $\begin{cases} v = u_t + u_x \\ w = u_t - u_x \end{cases}$, 就有

$$\begin{pmatrix} v \\ w \end{pmatrix}_t - \begin{pmatrix} 1 & 0 \\ 0 & -1 \end{pmatrix} \begin{pmatrix} v \\ w \end{pmatrix}_x = 0$$

显然矩阵 A 具有两个互异的实特征值 ± 1 及相应的特征向量 $\begin{pmatrix} 1 \\ 0 \end{pmatrix}, \begin{pmatrix} 0 \\ 1 \end{pmatrix}$. 该方程组与原二阶方程有同样的特征线方程:

$$dt \pm dx = 0,$$

即有同样的特征曲线

$$x \mp t = \text{const.}$$

二阶方程化为一阶方程组

例 2.12 (Laplace 方程)

对于 $u_{xx} + u_{yy} = 0$, 如果令 $\begin{cases} v = u_x + u_y \\ w = u_x - u_y \end{cases}$, 就有

$$\begin{pmatrix} v \\ w \end{pmatrix}_y - \begin{pmatrix} 0 & -1 \\ 1 & 0 \end{pmatrix} \begin{pmatrix} v \\ w \end{pmatrix}_x = 0$$

显然矩阵 A 具有两个复特征值 $\pm i$ 及相应的复特征向量 $\begin{pmatrix} 1 \\ \mp i \end{pmatrix}$.



目录

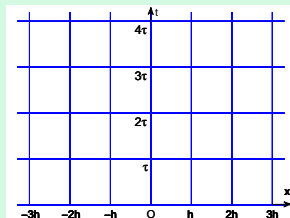
- ① 常微分方程数值解
- ② 偏微分方程及其差分方法基础知识
 - 偏微分方程基本概念
 - 有限差分方法的基本概念
 - 有限差分格式的相容性、稳定性和收敛性
 - 研究差分格式稳定性的方法简介



网格剖分

用有限差分方法来求解偏微分方程 (初) 边值问题, 由于计算机只能处理有限数据, 我们必须要将原连续问题离散化. 这样就必须要对原求解区域进行剖分.

举例来说, 对初边值问题, 求解区域为 $[0, T] \times \Omega$, 其中 $\Omega \subset \mathbb{R}^m$. 我们一般用平行于坐标轴的直线 (平面或超平面) 把区域 Ω 分割成一些矩形 (或长方体等) 网格, 其交点称为“节点”, 空间上相邻两点间的距离称为“空间步长”, 时间上的间距称为“时间步长”. 如右图所示: 此为等距剖分, $x_j = jh$, $t_n = n\tau$.

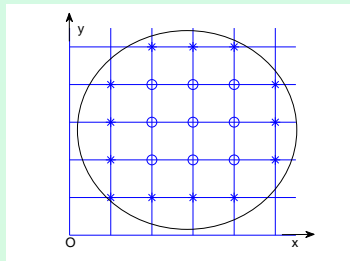


网格剖分

对于定义域为 $\Omega \subset \mathbb{R}^m$ 的椭圆问题, 我们也可以做类似的剖分 (如右图所示). 我们一般只考虑落在 $\bar{\Omega}$ 内的节点. 若一个节点及其相邻的节点均属于 $\bar{\Omega}$, 则称为**内部节点 (内点 “o”)**. 内点集合记为

$$\Omega_h = \{(x_i, y_j) \in \bar{\Omega} \mid (x_{i\pm 1}, y_{j\pm 1}) \in \bar{\Omega}\}.$$

反之, 如果一个节点至少有一个邻点不在 $\bar{\Omega}$ 上, 则称之为**边界节点 “x”**, 边界节点集合记为 Γ_h .



差分格式的构造

用有限差分方法近似求解偏微分方程初边值问题, 本质上讲即用差商来近似各种偏导数 (或者说用数值积分公式计算各种积分). 我们有多种构造办法.

(一) Taylor 展开法 (较为直观)

例 2.13

考虑以下对流方程初值问题

$$(2.22) \quad \begin{cases} \frac{\partial u}{\partial t} + a \frac{\partial u}{\partial x} = 0, & x \in \mathbb{R}, t > 0, \\ u(x, 0) = g(x), & x \in \mathbb{R} \end{cases}$$

$$\begin{aligned} \text{利用 } \frac{u(x_j, t_{n+1}) - u(x_j, t_n)}{\tau} &= \frac{\partial u}{\partial t}(x_j, t_n) + \frac{\tau}{2} \frac{\partial^2 u}{\partial t^2}(x_j, \xi_n), \quad \xi_n \in (t_n, t_{n+1}) \\ \frac{u(x_j, t_n) - u(x_{j-1}, t_n)}{h} &= \frac{\partial u}{\partial x}(x_j, t_n) - \frac{h}{2} \frac{\partial^2 u}{\partial x^2}(\eta_j, t_n), \quad \eta_j \in (x_{j-1}, x_j) \end{aligned}$$

差分格式的构造

可得
$$\frac{u_j^{n+1} - u_j^n}{\tau} + a \frac{u_j^n - u_{j-1}^n}{h} = \left[\frac{\partial u}{\partial t} + a \frac{\partial u}{\partial x} \right]_j^n + \mathcal{O}(\tau + h).$$

这样假如 u 为满足 (2.22) 的光滑解, 那么上式 $= \mathcal{O}(\tau + h)$.

即可以用差分方程

$$(2.23) \quad \frac{u_j^{n+1} - u_j^n}{\tau} + a \frac{u_j^n - u_{j-1}^n}{h} = 0$$

来近似(2.22)中的方程。也可以将上式改写为

$$(2.24) \quad u_j^{n+1} = u_j^n - a\lambda(u_j^n - u_{j-1}^n), \quad n=0, 1, \dots; j=0, \pm 1, \pm 2, \dots$$

其中 $\lambda = \frac{\tau}{h}$ 称为**网格比**. 将初值离散化

$$u_j^0 = g_j \equiv g(x_j), \quad j = 0, \pm 1, \pm 2, \dots$$

便可由 (2.24) 计算出 u_j^n . 格式 (2.24) 是一个显式两 (时间) 层格式.



差分格式的构造

我们也可以用以下近似公式

$$\frac{u_j^{n+1} - u_j^{n-1}}{2\tau} = \left[\frac{\partial u}{\partial t} \right]_j^n + \mathcal{O}(\tau^2), \quad \frac{u_{j+1}^n - u_{j-1}^n}{2h} = \left[\frac{\partial u}{\partial x} \right]_j^n + \mathcal{O}(h^2)$$

即用 $u_j^{n+1} = u_j^{n-1} - a\lambda(u_{j+1}^n - u_{j-1}^n)$ 来计算.

这是一个三层显式格式.

进一步考虑下面的初边值问题 (设 $a > 0$):

$$(2.25) \quad \begin{cases} \frac{\partial u}{\partial t} + a \frac{\partial u}{\partial x} = 0, & 0 < x < l, \quad t > 0, \\ u|_{t=0} = g(x), & 0 < x < l, \\ u|_{x=0} = \alpha(t), & t > 0. \end{cases} \quad \text{假设 } \alpha(0) = g(0).$$

$$\text{若用 } \frac{u_j^{n+1} - u_j^n}{\tau} = \left[\frac{\partial u}{\partial t} \right]_j^{n+1} + \mathcal{O}(\tau), \quad \frac{u_j^{n+1} - u_{j-1}^{n+1}}{h} = \left[\frac{\partial u}{\partial x} \right]_j^{n+1} + \mathcal{O}(h)$$



差分格式的构造

得到
$$\begin{cases} (1 + a\lambda)u_j^{n+1} - a\lambda u_{j-1}^{n+1} = u_j^n, & n \geq 0, 1 \leq j \leq J, h = \frac{l}{J}; \\ u_j^0 = g(x_j), & 0 \leq j \leq J; \quad u_0^n = \alpha(t_n), \quad n > 0. \end{cases}$$

引入记号

$$U^{n+1} = \begin{pmatrix} u_1^{n+1} \\ \vdots \\ u_J^{n+1} \end{pmatrix}, F^n = \begin{pmatrix} u_1^n + a\lambda u_0^{n+1} \\ u_2^n \\ \vdots \\ u_J^n \end{pmatrix}, A = \begin{pmatrix} 1 + a\lambda & & & \\ -a\lambda & 1 + a\lambda & & \\ & \ddots & \ddots & \\ & & -a\lambda & 1 + a\lambda \end{pmatrix}$$

即为 $AU^{n+1} = F^n$.

这是一个两层隐式格式. 但是这个隐式格式可以显式求解: 即按照

$$u_0^{n+1} \rightarrow u_1^{n+1} \rightarrow \cdots \rightarrow u_J^{n+1}$$

顺序计算, 不用解线性方程组. 一般隐式格式并不能显式求解.



差分格式的构造

(二) 积分方法

在给定区域上将原偏微分方程积分, 然后利用数值积分公式导出差分格式. 例如, 对于前面的对流方程(2.22), 在 $x-t$ 平面上区域 $D_j^n = \{(x, t) \in \mathbb{R}^2 \mid x_j - \frac{h}{2} \leq x \leq x_j + \frac{h}{2}, \quad t_n \leq t \leq t_{n+1}\}$ 上积分得

$$\iint_{D_j^n} \frac{\partial u}{\partial t} dx dt + a \iint_{D_j^n} \frac{\partial u}{\partial x} dx dt = 0.$$

$$\text{即 } \int_{x_j - \frac{1}{2}}^{x_j + \frac{1}{2}} [u(x, t_{n+1}) - u(x, t_n)] dx + a \int_{t_n}^{t_{n+1}} [u(x_{j+\frac{1}{2}}, t) - u(x_{j-\frac{1}{2}}, t)] dt = 0$$

中点积分公式 \downarrow

\downarrow 左矩积分公式

$$[u_j^{n+1} - u_j^n]h + a[u(x_{j+\frac{1}{2}}, t_n) - u(x_{j-\frac{1}{2}}, t_n)]\tau = 0.$$



差分格式的构造

再用 $u(x_{j+\frac{1}{2}}, t_n) \approx \frac{1}{2}[u_j^n + u_{j+1}^n]$ 及 $u(x_{j-\frac{1}{2}}, t_n) \approx \frac{1}{2}[u_j^n + u_{j-1}^n]$ 得

$$(2.26) \quad u_j^{n+1} - u_j^n + \frac{a\lambda}{2}[u_{j+1}^n - u_{j-1}^n] = 0, \quad \text{其中 } \lambda = \frac{\tau}{h}.$$

这种构造方法也称为有限体积法.

对于扩散方程 $u_t - au_{xx} = 0$ 也可类似构造:

在 $D_j^n = \{(x, t) \in \mathbb{R}^2 \mid x_j - \frac{h}{2} \leq x \leq x_j + \frac{h}{2}, \quad t_n \leq t \leq t_{n+1}\}$ 上积分

$$\iint_{D_j^n} \frac{\partial u}{\partial t} dx dt = a \iint_{D_j^n} \frac{\partial^2 u}{\partial x^2} dx dt$$



差分格式的构造

$$\text{即 } \int_{x_{j-\frac{1}{2}}}^{x_{j+\frac{1}{2}}} [u(x, t_{n+1}) - u(x, t_n)] dx = a \int_{t_n}^{t_{n+1}} [u_x(x_{j+\frac{1}{2}}, t) - u_x(x_{j-\frac{1}{2}}, t)] dt$$

中点积分公式 ↓

↓ 左矩积分公式

$$[u_j^{n+1} - u_j^n] h = a [u_x(x_{j+\frac{1}{2}}, t_n) - u_x(x_{j-\frac{1}{2}}, t_n)] \tau.$$

再用 $u_x(x_{j+\frac{1}{2}}, t_n) \approx \frac{1}{h} [u_{j+1}^n - u_j^n]$ 及 $u_x(x_{j-\frac{1}{2}}, t_n) \approx \frac{1}{h} [u_j^n - u_{j-1}^n]$ 得

$$[u_j^{n+1} - u_j^n] h = a \frac{\tau}{h} [u_{j+1}^n - 2u_j^n + u_{j-1}^n].$$

即可写成

$$(2.27) \quad u_j^{n+1} = u_j^n + a \tilde{\lambda} [u_{j+1}^n - 2u_j^n + u_{j-1}^n],$$

其中 $\tilde{\lambda} = \frac{\tau}{h^2}$ 为扩散问题的网格比.



目录

- ① 常微分方程数值解
- ② 偏微分方程及其差分方法基础知识
 - 偏微分方程基本概念
 - 有限差分方法的基本概念
 - 有限差分格式的相容性、稳定性和收敛性
 - 研究差分格式稳定性的方法简介



有限差分格式的截断误差

考虑微分方程为

$$(2.28) \quad Lu = 0, \quad \left(\text{如 } Lu = \frac{\partial u}{\partial t} + a \frac{\partial u}{\partial x} \right)$$

设其差分格式为

$$(2.29) \quad L_h^\tau u_j^n = 0, \quad \left(\text{如 } L_h^\tau u_j^n = \frac{u_j^{n+1} - u_j^n}{\tau} + a \frac{u_j^n - u_{j-1}^n}{h} \right)$$

定义 2.1 (截断误差)

$$E_j^n := L_h^\tau u(x_j, t_n) - Lu(x_j, t_n) \equiv L_h^\tau u(x_j, t_n)$$

称为差分格式 (2.29) 的**截断误差**. 如上面对流方程的差分格式有

$$E_j^n = \mathcal{O}(\tau + h).$$

一般若
$$E_j^n = \mathcal{O}(\tau^p + h^q),$$

则称该差分格式对时间步长为 p 阶精度, 对空间步长为 q 阶精度.

有限差分格式的截断误差

以后为简便起见，引入以下一些记号：

向前差分: $\Delta_+^t v(x, t) = v(x, t + \tau) - v(x, t)$

$$\Delta_+^x v(x, t) = v(x + h, t) - v(x, t)$$

向后差分: $\Delta_-^t v(x, t) = v(x, t) - v(x, t - \tau)$

$$\Delta_-^x v(x, t) = v(x, t) - v(x - h, t)$$

中心差分: $\delta_t v(x, t) = v\left(x, t + \frac{\tau}{2}\right) - v\left(x, t - \frac{\tau}{2}\right)$

$$\delta_x v(x, t) = v\left(x + \frac{h}{2}, t\right) - v\left(x - \frac{h}{2}, t\right)$$

$$\Delta_0^x v(x, t) = v(x + h, t) - v(x - h, t)$$

二阶中心差分: $\delta_x^2 v(x, t) = v(x + h, t) - 2v(x, t) + v(x - h, t)$



差分格式的相容性

定义 2.2 (差分格式的相容性)

所谓差分格式的**相容性**，是指时间、空间步长 $\tau, h \rightarrow 0$ 时，差分方程应该形式上收敛到原来的微分方程。

这就是说，假如原问题的解 $u(x, t)$ 充分光滑，若 $\tau, h \rightarrow 0$ ，有 $E_j^n \rightarrow 0$ ，则说上面差分格式 (2.29) 与方程 (2.28) 是相容的。

简单说就是差分格式至少是一阶精度的，则称为相容的。



差分格式的收敛性

我们用差分格式来近似求解微分方程初边值问题, 最关心的自然是当步长 τ, h 充分小时, 近似解是否足够靠近真解? 这就是我们关心的差分格式的收敛性问题.

定义 2.3 (差分格式的收敛性)

令 $e_j^n = u(x_j, t_n) - u_j^n$, 如果 $\tau, h \rightarrow 0$ 时, 有 $e_j^n \rightarrow 0$, 则称差分格式是收敛的.

当然这里我们忽略了计算差分方程解 u_j^n 过程中的舍入误差影响.

需要注意的是, 差分格式的收敛性与其相容性是两个概念:

- 相容性指的是差分方程收敛到微分方程;
- 收敛性指的是差分格式的解收敛到原问题的真解.



差分格式的收敛性

我们后面会给出很多收敛但只是条件相容的例子.

例 2.14 (相容但不收敛的格式)

考虑一个对流方程初值问题:

$$\begin{cases} \frac{\partial u}{\partial t} + a \frac{\partial u}{\partial x} = 0, & x \in \mathbb{R}, t > 0, \\ u|_{t=0} = u_0(x), & x \in \mathbb{R} \end{cases} \quad \text{不妨设 } a > 0.$$

如果我们使用如下差分格式计算 (这里 T 为平移算子 $Tu_j = u_{j+1}$)

$$(2.30) \quad u_j^{n+1} = u_j^n - a\lambda(u_{j+1}^n - u_j^n) \equiv [(1 + a\lambda) - a\lambda T]u_j^n.$$

显然上面格式是一个 (一阶) 相容格式. 重复使用格式 (2.30) 得到

$$u_j^n = [(1 + a\lambda) - a\lambda T]^n u_j^0 = \sum_{m=0}^n \binom{n}{m} (1 + a\lambda)^m (-a\lambda)^{n-m} u_0(x_{j+n-m}).$$

差分格式的收敛性

由前面的分析（特征线方程）我们知道

$$u(x_j, t_n) = u_0(x_j - at_n) = u_0(x_j - na\tau) \stackrel{\lambda=\tau/h}{=} u_0(x_j - na\lambda h).$$

即对真解而言, 改变了 u_0 在 $x_j - na\lambda h$ 点的值, $u(x_j, t_n)$ 的值就变了. 但由上面差分解的表达式知, u_j^n 仅依赖于 u_0 在 $[x_j, x_j + nh]$ 上的值, 即此时 u_j^n 不会变. 这自然说明了格式 (2.30) 是**不收敛**的.

而若我们使用以下格式:

$$(2.31) \quad u_j^{n+1} = u_j^n - a\lambda(u_j^n - u_{j-1}^n) \equiv [(1 + a\lambda) - a\lambda T^{-1}]u_j^n.$$

$$\text{即} \quad u_j^n = \sum_{m=0}^n \binom{n}{m} (1 + a\lambda)^m (-a\lambda)^{n-m} u_0(x_{j-n+m}).$$

由上面的分析知, 如果 $x_{j-n} \leq x_j - na\lambda h \leq x_j$, 即 $a\lambda \leq 1$, 公式才可能会收敛. 这需要考虑差分格式的另一种性质——**稳定性**.



差分格式的稳定性

尤其对于时间发展问题, 差分格式是逐 (时间) 层计算的, 前一时间层上值的舍入误差会在后面计算过程中传播, 我们必须控制这些误差的累积, 否则便会带来灾难.

对于偏微方程的计算, 我们将主要考虑对初值的稳定性 (中间过程的舍入误差的影响由于方程的复杂性不好准确估计).

定义 2.4 (对初值的稳定性)

称差分格式(2.29)是**对初值稳定的**(简称稳定的), 若 $\exists K > 0$, s.t. 对于初值 \mathbf{u}^0 的误差 $\tilde{\mathbf{u}}^0$ 以及由此产生的 \mathbf{u}^n 的误差 $\tilde{\mathbf{u}}^n$ (这里 $\mathbf{u}^m = (\cdots, u_{j-1}^m, u_j^m, u_{j+1}^m, \cdots)$), 如果当 $0 < \tau \leq \tau_0$, $n\tau \leq T$ 时, 一致地有

$$(2.32) \quad \|\tilde{\mathbf{u}}^n\| \leq K \|\tilde{\mathbf{u}}^0\|.$$

差分格式的稳定性

其中 $\|\cdot\|$ 是某种向量范数, 如

$$\|\mathbf{u}^m\| = \sqrt{h \sum_{j=-\infty}^{+\infty} (u_j^m)^2} \approx \left(\int_{-\infty}^{+\infty} u^2(x, t_m) dx \right)^{1/2}.$$

对于线性问题, 若差分格式可以写成

$$\mathbf{u}^{n+1} = C(\tau)\mathbf{u}^n$$

则 (2.32) 等价于

$$(2.33) \quad \|C^n(\tau)\| \leq K.$$

这里 $\|\cdot\|$ 为相应矩阵范数.

对于非线性问题只能用 (2.32) 式定义.



Lax 等价定理

我们最终关心的是差分解的收敛性, 但如何验证呢? 形式上看, 相容、稳定性更容易验证. 自然人们关心这三者之间的关系.

考虑初值问题

$$(2.34) \quad \begin{cases} \frac{\partial \mathbf{u}}{\partial t} = \mathbb{L} \mathbf{u}, & (\mathbf{x}, t) \in D, \\ \mathbf{u}|_{t=0} = \mathbf{u}_0(\mathbf{x}). \end{cases}$$

$\mathbf{u}(\mathbf{x}, t) \in \mathbb{R}^m$, \mathbb{L} 为微分算子, 如 $\mathbb{L} = \sum_{|\alpha|=0}^n A_\alpha(\mathbf{x}) \frac{\partial^\alpha}{\partial \mathbf{x}^\alpha}$. 上述问题解为

$$\mathbf{u}(\mathbf{x}, t) = E(t) \mathbf{u}_0(\mathbf{x}).$$

其中 $E(t)$ 称为解算子. 假设问题 (2.34) 是适定问题, 即解算子一致有界:
 $\|E(t)\| \leq K$.



Lax 等价定理

考虑差分格式：

$$(2.35) \quad \sum_{\beta} B_{1\beta}(\mathbf{x}, \tau) T^{\beta} \mathbf{u}^{n+1}(\mathbf{x}) = \sum_{\beta} B_{0\beta}(\mathbf{x}, \tau) T^{\beta} \mathbf{u}^n(\mathbf{x}).$$

这里 $B_{i\beta}(\mathbf{x}, \tau) \in \mathbb{R}^{m \times m}$ 为矩阵函数, T 为位移算子. 我们也可以将上面格式 (2.35) 写成

$$\mathbf{u}^{n+1}(\mathbf{x}) = C(x, \tau) \mathbf{u}^n(\mathbf{x}).$$

通常我们假设(2.35)是与(2.34)相容的. 我们有以下 Lax 等价定理:

定理 2.1 (Lax 等价定理)

对于适定的线性问题 (2.34), 及给定的与之相容的差分格式 (2.35), 有 (2.35) 是收敛的 \iff (2.35) 是稳定的.



Lax 等价定理

◁ 证明思路: “ \implies ” 设 (2.35) 是收敛的: 给了 $u_0(\mathbf{x}) \in L^2(\mathbb{R}^m)$, 是否存在常数 $K(u_0) > 0$, s.t.

$$\|C^n(\tau)u_0\| \leq K(u_0) \|u_0\|.$$

这可用反证法证明.

“ \impliedby ” 设 (2.35) 是稳定的: 要证明, 当 $\tau_j \rightarrow 0$, $n_j\tau_j \rightarrow t$, 有

$$\|[C(\tau_j)]^{n_j}u_0 - E(t)u_0\| \rightarrow 0.$$

这可以利用

$$\|[C(\tau_j)]^{n_j}u_0 - E(n_j\tau_j)u_0\| + \|E(n_j\tau_j)u_0 - E(t)u_0\| \rightarrow 0$$

来证明. ▷

注意, 对非线性问题一般没有此定理结论.



目录

- ① 常微分方程数值解
- ② 偏微分方程及其差分方法基础知识
 - 偏微分方程基本概念
 - 有限差分方法的基本概念
 - 有限差分格式的相容性、稳定性和收敛性
 - 研究差分格式稳定性的方法简介



Fourier 方法

Fourier 方法一般仅用于常系数线性方程初值问题.

考虑以下常系数线性偏微分方程 (组) 初值问题:

$$(2.36) \quad \begin{cases} \frac{\partial \mathbf{u}}{\partial t} = \sum_{\alpha=0}^n A_{\alpha} \frac{\partial^{\alpha} \mathbf{u}}{\partial x^{\alpha}}, & t > 0, x \in \mathbb{R}, \\ \mathbf{u}(x, t)|_{t=0} = \mathbf{u}_0(x), & x \in \mathbb{R}. \end{cases}$$

这里设 $u \in \mathbb{R}^m$, $A_{\alpha} \in \mathbb{R}^{m \times m}$.

由 Fourier 变换的性质:

$$\begin{aligned} \widehat{\frac{\partial^{\alpha} \mathbf{u}}{\partial x^{\alpha}}} &= \frac{1}{\sqrt{2\pi}} \int_{\mathbb{R}} e^{-ix\omega} \frac{\partial^{\alpha} \mathbf{u}}{\partial x^{\alpha}}(x, t) dx = (i\omega)^{\alpha} \frac{1}{\sqrt{2\pi}} \int_{\mathbb{R}} e^{-ix\omega} \mathbf{u}(x, t) dx \\ &\equiv (i\omega)^{\alpha} \widehat{\mathbf{u}}(\omega, t) \end{aligned}$$



Fourier 方法

对(2.36)中方程做 Fourier 变换得到

$$(2.37) \quad \begin{cases} \frac{\partial \hat{\mathbf{u}}}{\partial t} = \sum_{\alpha=0}^n A_{\alpha}(i\omega)^{\alpha} \hat{\mathbf{u}}(\omega, t), \\ \hat{\mathbf{u}}(\omega, t)|_{t=0} = \hat{\mathbf{u}}_0(\omega). \end{cases}$$

由此可以解出

$$\hat{\mathbf{u}}(\omega, t) = \exp(tP_n(i\omega))\hat{\mathbf{u}}_0(\omega),$$

其中 $P_n(i\omega) = \sum_{\alpha=0}^n A_{\alpha}(i\omega)^{\alpha}$ 为一矩阵函数.

通过 Fourier 反变换得到 (2.36) 的解为

$$(2.38) \quad \mathbf{u}(x, t) = \frac{1}{\sqrt{2\pi}} \int_{\mathbb{R}} e^{ix\omega} \exp(tP_n(i\omega))\hat{\mathbf{u}}_0(\omega)d\omega.$$



Fourier 方法

我们也可以将上述方法应用于一般形式的差分格式

$$(2.39) \quad \sum_{\beta=-l_1}^{l_1} B_{1\beta}(\tau) T^{\beta} \mathbf{u}^{n+1}(x) = \sum_{\beta=-l_0}^{l_0} B_{0\beta}(\tau) T^{\beta} \mathbf{u}^n(x),$$

这里 $B_{i\beta}(\tau)$ 为一些仅依赖于时间步长 τ 的一些矩阵函数.

将 $\mathbf{u}^n(x)$ 的定义域延拓到整个实轴 \mathbb{R} 上:

$$\mathbf{u}^n(x) = u_j^n, \quad \text{当} \left(j - \frac{1}{2}\right)h \leq x < \left(j + \frac{1}{2}\right)h.$$

这样就定义了阶梯函数 (分片常数函数) $\mathbf{u}^n(x)$. 对 $\mathbf{u}^0(x)$ 也做类似先离散再延拓的过程. 这样就可以对(2.39)做 Fourier 变换

$$\sum_{\beta=-l_1}^{l_1} B_{1\beta}(\tau) \widehat{T^{\beta} \mathbf{u}^{n+1}}(x) = \sum_{\beta=-l_0}^{l_0} B_{0\beta}(\tau) \widehat{T^{\beta} \mathbf{u}^n}(x),$$



Fourier 方法

$$\begin{aligned}\widehat{T^\beta \mathbf{u}^n}(x) &= \frac{1}{\sqrt{2\pi}} \int_{\mathbb{R}} T^\beta \mathbf{u}^n(x) e^{-i\omega x} dx = \frac{1}{\sqrt{2\pi}} \int_{\mathbb{R}} \mathbf{u}^n(x + \beta h) e^{-i\omega x} dx \\ &= \frac{1}{\sqrt{2\pi}} \int_{\mathbb{R}} \mathbf{u}^n(y) e^{-i\omega(y-\beta h)} dy \equiv e^{i\omega\beta h} \widehat{\mathbf{u}^n}(\omega).\end{aligned}$$

从而得到

$$(2.40) \quad B_1(\omega, \tau) \widehat{\mathbf{u}^{n+1}}(\omega) = B_0(\omega, \tau) \widehat{\mathbf{u}^n}(\omega).$$

这里 $B_j(\omega, \tau) = \sum_{\beta=-l_j}^{l_j} B_{j\beta}(\tau) e^{i\omega\beta h}$, $j = 0, 1$.

若假设 $B_1(\omega, \tau)$ 可逆, 记 $G(\omega, \tau) = B_1^{-1} B_0$, 有

$$(2.41) \quad \widehat{\mathbf{u}^{n+1}}(\omega) = G(\omega, \tau) \widehat{\mathbf{u}^n}(\omega).$$

由此看出 m 阶方阵 $G(\omega, \tau)$ 决定了差分方程 (2.39) 的解之 Fourier 系数的增长性, 故一般称之为**增长矩阵**. 因其不依赖于 n , 故有

$$(2.42) \quad \widehat{\mathbf{u}^n}(\omega) = [G(\omega, \tau)]^n \widehat{\mathbf{u}^0}(\omega).$$



Fourier 方法

利用 Parseval 等式及稳定性定义, 可以有如下定理

定理 2.2

差分格式 (2.39) 稳定的充要条件是 $\exists \tau_0 > 0$, 及 $K > 0$, s.t. 当 $0 < \tau \leq \tau_0$ 时, $\forall \omega \in \mathbb{R}$, $n\tau \leq T$ 时, 一致地有

$$(2.43) \quad \|G^n(\omega, \tau)\| \leq K.$$

这里的矩阵范数是离散 l^2 范数导出的矩阵范数.

◁ 因为是线性问题, 将差分格式写成如下形式

$$(2.44) \quad \mathbf{u}^{n+1}(x) = C(\tau)\mathbf{u}^n(x).$$

先证充分性 “ \Leftarrow ”: 若 (2.43) 成立, 欲证格式稳定.



Fourier 方法

$$\text{由 } \|C^n(\tau)\mathbf{u}^0\|^2 = \|\mathbf{u}^n\|^2 \stackrel{\text{Parseval 等式}}{=} \|\widehat{\mathbf{u}^n}\|^2 = \int_{\mathbb{R}} |G^n(\omega, \tau) \widehat{\mathbf{u}^0}(\omega)|^2 d\omega$$

$$\implies \|C^n(\tau)\mathbf{u}^0\|^2 \leq \sup_{\omega \in \mathbb{R}} \|G^n(\omega, \tau)\|^2 \|\widehat{\mathbf{u}^0}(\omega)\|^2 \stackrel{(2.43)}{\leq} K^2 \|\widehat{\mathbf{u}^0}(\omega)\|^2$$

即稳定性得证.

再证必要性 “ \implies ”: 即假设有稳定性, 欲证 (2.43) 式成立.

用反证法. 假设 $\exists \tau_j \leq \tau_0$, $n_j \tau_j \leq T$, 及 $\omega_j \in \mathbb{R}$ s.t.

$$\|G^{n_j}(\omega_j, \tau_j)\|^2 > j, \quad \text{对 } j = 1, 2, \dots, \rightarrow +\infty$$

由 $G(\omega, \tau)$ 关于 ω 之连续性可知, 存在向量 \mathbf{b}_j 及 ω_j 的邻域 $V_j = \{\omega \mid \omega - \omega_j\| < \delta_j\}$, s.t.

$$\text{使得当 } \omega \in V_j \text{ 时, } \|G^{n_j}(\omega, \tau_j)\mathbf{b}_j\| > \frac{j}{2} \|\mathbf{b}_j\|.$$



Fourier 方法

令函数 $\phi_j(x)$ 满足: 其 Fourier 变换为

$$\hat{\phi}_j(\omega) = \begin{cases} \mathbf{b}_j, & \text{当 } |\omega - \omega_j| < \delta_j \text{ 时} \\ 0, & \text{其它情形.} \end{cases}$$

则 $j \rightarrow +\infty$ 时, 有

$$\|C^{n_j}(\tau_j)\phi_j\|^2 = \int_{\mathbb{R}} \left| G^{n_j}(\omega, \tau_j) \hat{\phi}_j(\omega) \right|^2 d\omega \geq \frac{j^2}{4} \|\hat{\phi}_j\|^2 = \frac{j^2}{4} \|\phi_j\|^2.$$

这样与稳定性条件 $\|C^n(\tau)\| \leq K$ 矛盾了. \triangleright

实际分析稳定性时, 由上述推导过程, 可简化 $G(\omega, \tau)$ 的计算: 即令 $\mathbf{u}_j^n = \mathbf{v}^n \cdot e^{ij\omega h}$ 代入 (2.39) 式, 得到

$$\sum_{\beta=-l_1}^{l_1} B_{1\beta}(\tau) e^{i\beta\omega h} \mathbf{v}^{n+1} = \sum_{\beta=-l_0}^{l_0} B_{0\beta}(\tau) e^{i\beta\omega h} \mathbf{v}^n,$$



Fourier 方法

由此可以得到 $\mathbf{v}^{n+1} = G(\omega, \tau) \mathbf{v}^n$.

例 2.15

对于对流方程 $u_t + au_x = 0$, 使用差分格式

$$u_j^{n+1} = u_j^n - \frac{a\lambda}{2}(u_{j+1}^n - u_{j-1}^n), \quad \lambda = \frac{\tau}{h}.$$

令 $u_j^n = v^n \cdot e^{ij\omega h}$ 代入上式有

$$\begin{aligned} v^{n+1} e^{ij\omega h} &= v^n e^{ij\omega h} - \frac{a\lambda}{2} \left(v^n e^{i(j+1)\omega h} - v^n e^{i(j-1)\omega h} \right), \\ \implies v^{n+1} &= \left[1 - \frac{a\lambda}{2} (e^{i\omega h} - e^{-i\omega h}) \right] v^n \end{aligned}$$

即 $G(\omega, \tau) = 1 - ia\lambda \sin(\omega h)$.



Fourier 方法

利用定理 2.2, 再结合线性代数中的知识, 可以给出判别 (2.39) 稳定性的条件.

记 $\lambda_l(\omega, \tau)$, $l = 1, \dots, m$ 为 m 阶矩阵 $G(\omega, \tau)$ 的特征值, \mathbf{v}_l 为相应特征向量. 其谱半径为 $\rho(G) = \max_{1 \leq l \leq m} |\lambda_l(\omega, \tau)|$. 也就是说 $\exists l_0 \in \{1, \dots, m\}$ s.t.

$$\rho(G) = |\lambda_{l_0}| = \frac{|G \cdot \mathbf{v}_{l_0}|}{|\mathbf{v}_{l_0}|} \leq \|G(\omega, \tau)\|.$$

另外易见 $\|G^2\| = \max_{\mathbf{v} \neq 0} \frac{\|G^2 \mathbf{v}\|}{\|\mathbf{v}\|} \leq \max_{\mathbf{v}_1, \mathbf{v}_2 \neq 0} \frac{\|G \mathbf{v}_1\|}{\|\mathbf{v}_1\|} \cdot \frac{\|G \mathbf{v}_2\|}{\|\mathbf{v}_2\|} \leq \|G\|^2$
即

$$(2.45) \quad \rho^n(G) = \rho(G^n) \leq \|G^n(\omega, \tau)\| \leq \|G(\omega, \tau)\|^n.$$



Fourier 方法

先给出一个简单引理:

引理 2.1

设 $K > 1$, 则 $\forall x \in [0, 1]$, 有 $K^x \leq 1 + (K - 1)x$.

◁ 令 $f(x) = K^x = e^{x \ln K}$. 简单计算有 $f''(x) = (\ln K)^2 e^{x \ln K} > 0$,

即 $f(x)$ 为凸函数. 由凸函数的性质 ($f(\lambda x + (1 - \lambda)y)$ 位于 $\lambda f(x) + (1 - \lambda)f(y)$ 这条直线之下), 立刻有

$$\begin{aligned} f(x) &= f(x \cdot 1 + (1 - x) \cdot 0) \leq x \cdot f(1) + (1 - x) \cdot f(0) \\ &= Kx + 1 - x = 1 + (K - 1)x. \quad \triangleright \end{aligned}$$

利用上述引理及线性代数的知识可以给出稳定性的一些充分、必要条件



Fourier 方法

定理 2.3 (Von Neumann 条件---稳定性的必要条件)

差分格式 (2.44) 稳定的必要条件 (*Von Neumann 条件*) 是:

存在 $\tau_0 > 0$, $M > 0$, 当 $0 < \tau \leq \tau_0$ 且 $n\tau \leq T$ 时, $\forall \omega \in \mathbb{R}$ 有

$$(2.46) \quad |\lambda_l(G(\omega, \tau))| \leq 1 + M\tau, \quad l = 1, 2, \dots, m.$$

其中 $G(\omega, \tau)$ 为增长矩阵, λ_l 为其特征值.

◁ 由差分格式稳定性条件知, $0 < \tau \leq \tau_0$ 且 $n\tau \leq T$ 时, $\exists K > 0$, s.t.

$\forall \omega \in \mathbb{R}$ 有 $\|G^n(\omega, \tau)\| \leq K$. 由 (2.45) 知: $\rho^n(G) \leq \|G^n\| \leq K$.

不妨设 $K > 1$ (因为若 $K \leq 1$ 自然有(2.46)成立)

这样对 $n\tau \leq T$, $\rho(G) \leq K^{1/n} \leq 1 + \frac{K-1}{n}$.

特别取 $n = \frac{T}{\tau}$, 即有 $\rho(G) \leq 1 + \frac{K-1}{T}\tau \equiv 1 + M\tau$. ▷



Fourier 方法

在许多情形, 上述 Von Neumann 条件也是稳定性的充分条件.

引入正规矩阵概念:

定义 2.5 (正规矩阵)

若 $A \cdot A^* = A^* \cdot A$, 则称 A 为正规矩阵.

A 为正规阵等价于可用酉矩阵对角化, 即 $\rho(A) = \|A\|_2 = \sqrt{\rho(A^*A)}$. 这样有 $\|A^n\|_2 \leq \|A\|_2^n = \rho^n(A)$. 即有以下定理:

定理 2.4

若 $G(\omega, \tau)$ 为正规阵, 则 Von Neumann 条件是稳定性的充要条件.

◁ 只需证充分性: 若 $\rho(G) \leq 1 + M\tau$, 有

$$\|G^n\|_2 \leq \|G\|_2^n = \rho^n(G) \leq (1 + M\tau)^n \leq (1 + M\frac{T}{N})^N \leq e^{MT} = K \triangleright$$



Fourier 方法

推论 2.1

当 $G(\omega, \tau)$ 为实对称矩阵、*Hermite* 阵、正交阵、酉矩阵时, *Von Neumann* 条件为稳定性的充要条件.

推论 2.2

当 $m = 1$, 即 $G(\omega, \tau)$ 为一个数时, *Von Neumann* 条件为稳定性的充要条件.

类似我们还可以有其他一些充分条件:

定理 2.5

若存在 $\tau_0 > 0$, $M > 0$, 当 $0 < \tau \leq \tau_0$ 且 $n\tau \leq T$ 时, $\forall \omega \in \mathbb{R}$ 有 $\|G(\omega, \tau)\| \leq 1 + K\tau$, 则差分格式稳定.

Fourier 方法

定理 2.6

如果矩阵 $G^* \cdot G$ 的特征值 μ_1, \dots, μ_m 满足 $|\mu_j| \leq 1 + M\tau$, $1 \leq j \leq m$, $0 < \tau \leq \tau_0$, 则该差分格式稳定.

◁ 只需注意到 $\|G(\omega, \tau)\|_2 = \sqrt{\rho(G^*G)}$ 即可. ▷

定理 2.7

若 $0 < \tau \leq \tau_0$ 且 $n\tau \leq T$ 时, $\forall \omega \in \mathbb{R}$ 存在非奇异阵 $S(\omega, \tau)$ s.t.

$$S^{-1}(\omega, \tau)G(\omega, \tau)S(\omega, \tau) = \Lambda(\omega, \tau),$$

其中 $\Lambda(\omega, \tau)$ 为对角阵, 且存在与 τ, ω 无关的常数 $C > 0$ s.t.

$$\|S\|_2 \leq C, \quad \|S^{-1}\|_2 \leq C,$$

则 Von Neumann 条件是差分格式稳定的充要条件.

Fourier 方法

◁ 由定理条件,

$$G(\omega, \tau) = S(\omega, \tau)\Lambda(\omega, \tau)S^{-1}(\omega, \tau),$$

连乘 n 次得到

$$G^n(\omega, \tau) = S(\omega, \tau)\Lambda^n(\omega, \tau)S^{-1}(\omega, \tau).$$

由 Von Neumann 条件,

$$|\lambda_l(\omega, \tau)| \leq 1 + M\tau, \quad l = 1, \dots, m,$$

又 Λ 为对角阵, 因此 $\|\Lambda\|_2 = \rho(\Lambda) \leq 1 + M\tau$. 这样有

$$\|G^n\|_2 \leq \|S\|_2 \|\Lambda^n\|_2 \|S^{-1}\|_2 \leq C^2(1 + M\tau)^n \leq C^2 e^{MT}.$$

即差分格式稳定. ▷

我们还可以有以下一些稳定性充分条件:



Fourier 方法

定理 2.8

如果 $\forall \omega \in \mathbb{R}$ 增长矩阵 $G(\omega, \tau)$ 的元素都有界, 且其特征值满足

$$|\lambda_1(G)| \leq 1 + M\tau, \quad |\lambda_j(G)| \leq r < 1, \quad j = 2, \dots, m.$$

则 Von Neumann 条件也是稳定性充分条件.

定理 2.9 (记 $\sigma = \omega h$)

若 $G(\omega, \tau) \equiv G(\sigma)$, 且 $\forall \sigma \in \mathbb{R}$ 有下列条件之一成立

- ① $G(\sigma)$ 有 m 个不同特征值;
- ② $G(\sigma)$ 的 k 阶导数 $G^{(k)}(\sigma) = \gamma_k I$, $k = 0, 1, \dots, s-1$;
 $G^{(s)}(\sigma)$ 有 m 个不同特征值;
- ③ $\rho(G) < 1$.

则 Von Neumann 条件是差分格式稳定的充要条件.

Fourier 方法

下面我们来看一些例子:

例 2.16 (考虑逼近对流方程 $u_t + au_x = 0$ 的显式格式)

$$\frac{u_j^{n+1} - u_j^n}{\tau} + a \frac{u_{j+1}^n - u_{j-1}^n}{2h} = 0 \quad \text{的稳定性条件.}$$

解: 将上式变形为 $u_j^{n+1} = u_j^n - \frac{a\lambda}{2}(u_{j+1}^n - u_{j-1}^n)$, $\lambda = \frac{\tau}{h}$.

再令 $u_j^n = v^n e^{ij\omega h}$ 代入上式有

$$v^{n+1} = v^n \left(1 - \frac{a\lambda}{2} (e^{i\omega h} - e^{-i\omega h}) \right) \implies G(\omega, \tau) = 1 - ia\lambda \sin \omega h.$$

显然, 只要 $\sin \omega h \neq 0$, 就有

$$|G(\omega, \tau)|^2 = 1 + a^2 \frac{\tau^2}{h^2} \sin^2 \omega h \not\leq (1 + M\tau)^2.$$

即不满足 Von Neumann 条件, 因而此公式不稳定. \square



Fourier 方法

例 2.17 (再考虑逼近对流方程 $u_t + au_x = 0$ 的‘顺风’格式)

$$\frac{u_j^{n+1} - u_j^n}{\tau} + a \frac{u_{j+1}^n - u_j^n}{h} = 0 \quad \text{的稳定性条件, 假设 } a > 0.$$

解: 将上式变形为 $u_j^{n+1} = u_j^n - a\lambda(u_{j+1}^n - u_j^n)$, $\lambda = \frac{\tau}{h}$.

再令 $u_j^n = v^n e^{ij\omega h}$ 代入上式有

$$\begin{aligned} v^{n+1} &= v^n \left(1 - a\lambda (e^{i\omega h} - 1) \right) \\ \implies G(\omega, \tau) &= 1 + a\lambda(1 - \cos \omega h) - ia\lambda \sin \omega h \\ &= 1 + 2a\lambda \sin^2 \frac{\omega h}{2} - 2ia\lambda \sin \frac{\omega h}{2} \cos \frac{\omega h}{2}. \end{aligned}$$

显然, 只要 $\sin \frac{\omega h}{2} \neq 0$, 就有

$$|G(\omega, \tau)|^2 = 1 + 4a\frac{\tau}{h}(1 + a\lambda) \sin^2 \frac{\omega h}{2} \not\leq (1 + M\tau)^2.$$

即不满足 Von Neumann 条件, 因而此公式不稳定. \square



Fourier 方法

例 2.18 (再考虑逼近对流方程 $u_t + au_x = 0$ 的‘迎风’格式)

$$\frac{u_j^{n+1} - u_j^n}{\tau} + a \frac{u_j^n - u_{j-1}^n}{h} = 0 \quad \text{的稳定性条件, 假设 } a > 0.$$

解: 将上式变形为 $u_j^{n+1} = u_j^n - a\lambda(u_j^n - u_{j-1}^n)$, $\lambda = \frac{\tau}{h}$.

再令 $u_j^n = v^n e^{ij\omega h}$ 代入上式有

$$\begin{aligned} v^{n+1} &= v^n \left(1 - a\lambda \left(1 - e^{-i\omega h} \right) \right) \\ \implies G(\omega, \tau) &= 1 - a\lambda(1 - \cos \omega h) - ia\lambda \sin \omega h \\ &= 1 - 2a\lambda \sin^2 \frac{\omega h}{2} - 2ia\lambda \sin \frac{\omega h}{2} \cos \frac{\omega h}{2}. \\ \implies |G(\omega, \tau)|^2 &= 1 - 4a\lambda(1 - a\lambda) \sin^2 \frac{\omega h}{2}. \end{aligned}$$

即 $a\lambda \leq 1$ 时, $|G(\omega, \tau)|^2 \leq 1$, 满足 Von Neumann 条件, 公式稳定. □



Fourier 方法

例 2.19 (再考虑逼近对流方程 $u_t + au_x = 0$ 的隐式 ‘迎风’格式)

$$\frac{u_j^{n+1} - u_j^n}{\tau} + a \frac{u_j^{n+1} - u_{j-1}^{n+1}}{h} = 0 \quad \text{的稳定性条件, 假设 } a > 0.$$

解: 将上式变形为 $u_j^{n+1} + a\lambda(u_j^{n+1} - u_{j-1}^{n+1}) = u_j^n$, $\lambda = \frac{\tau}{h}$.

再令 $u_j^n = v^n e^{ij\omega h}$ 代入上式有

$$\begin{aligned} v^{n+1} \left(1 + a\lambda \left(1 - e^{-i\omega h} \right) \right) &= v^n \\ \implies G(\omega, \tau) &= \frac{1}{1 + a\lambda(1 - \cos \omega h) + ia\lambda \sin \omega h} \\ &= \frac{1}{1 + 2a\lambda \sin^2 \frac{\omega h}{2} + 2ia\lambda \sin \frac{\omega h}{2} \cos \frac{\omega h}{2}} \\ \implies |G(\omega, \tau)|^2 &= \frac{1}{1 + 4a\lambda(1 + a\lambda) \sin^2 \frac{\omega h}{2}} \leq 1. \end{aligned}$$

即总满足 Von Neumann 条件, 此公式恒稳定.



Fourier 方法

例 2.20 (考虑逼近扩散方程 $u_t = au_{xx}$ ($a > 0$) 的隐式差分格式)

$$\frac{u_j^{n+1} - u_j^n}{\tau} - a \frac{u_{j+1}^{n+1} - 2u_j^{n+1} + u_{j-1}^{n+1}}{h^2} = 0 \quad \text{的稳定性条件.}$$

解: 令 $\lambda = \frac{\tau}{h^2}$, 将上式化成

$$-a\lambda u_{j-1}^{n+1} + (1 + 2a\lambda)u_j^{n+1} - a\lambda u_{j+1}^{n+1} = u_j^n.$$

令 $u_j^n = v^n e^{ij\omega h}$ 代入上式有

$$\begin{aligned} v^{n+1} \left(-a\lambda \left(e^{i\omega h} + e^{-i\omega h} \right) + 1 + 2a\lambda \right) &= v^n \\ \Rightarrow G(\omega, \tau) &= \frac{1}{1 + 4a\lambda \sin^2 \frac{\omega h}{2}}. \end{aligned}$$

显然, 总有 $|G(\omega, \tau)| \leq 1$ 且 G 为一个数, 因而此公式恒稳定. \square



Fourier 方法

例 2.21 (考虑逼近扩散方程 $u_t = au_{xx}$ ($a > 0$) 的 Richardson 格式)

$$\frac{u_j^{n+1} - u_j^{n-1}}{2\tau} = a \frac{u_{j+1}^n - 2u_j^n + u_{j-1}^n}{h^2} \quad (\text{三层格式}) \text{ 的稳定性条件.}$$

解: 令 $\lambda = \frac{\tau}{h^2}$, 将上式化成 $u_j^{n+1} = u_j^{n-1} + 2a\lambda(u_{j+1}^n - 2u_j^n + u_{j-1}^n)$.

记 $v_j^{n+1} = u_j^n$, 有 $u_j^{n+1} = v_j^n + 2a\lambda(u_{j+1}^n - 2u_j^n + u_{j-1}^n)$.

再令 $\mathbf{U}_j^n = \begin{pmatrix} u_j^n \\ v_j^n \end{pmatrix} \Rightarrow \mathbf{U}_j^{n+1} = \begin{pmatrix} 2a\lambda & 0 \\ 0 & 0 \end{pmatrix} (\mathbf{U}_{j-1}^n + \mathbf{U}_{j+1}^n) + \begin{pmatrix} -4a\lambda & 1 \\ 1 & 0 \end{pmatrix} \mathbf{U}_j^n$

令 $\mathbf{U}_j^n = \mathbf{V}^n e^{ij\omega h}$ 代入上式有 $\mathbf{V}^{n+1} = \begin{pmatrix} -8a\lambda \sin^2 \frac{\omega h}{2} & 1 \\ 1 & 0 \end{pmatrix} \mathbf{V}^n$.

$G(\omega, \tau)$ 的两个特征值为 $\mu_{1,2} = -4a\lambda \sin^2 \frac{\omega h}{2} \pm \sqrt{1 + 16a\lambda^2 \sin^4 \frac{\omega h}{2}}$.

显然取负号即有 $|\mu_2| > 1 + 4a\lambda \sin^2 \frac{\omega h}{2}$, 即恒不稳定. \square



Fourier 方法

例 2.22 (仍考虑逼近扩散方程 $u_t = au_{xx}$ ($a > 0$) 的两层显式格式)

$$\frac{u_j^{n+1} - u_j^n}{\tau} = a \frac{u_{j+1}^n - 2u_j^n + u_{j-1}^n}{h^2} \quad \text{的稳定性条件.}$$

解: 令 $\lambda = \frac{\tau}{h^2}$, 将上式化成 $u_j^{n+1} = u_j^n + a\lambda (u_{j+1}^n - 2u_j^n + u_{j-1}^n)$.

令 $u_j^n = v^n e^{ij\omega h}$ 代入上式有

$$v^{n+1} = \left(1 + a\lambda (e^{i\omega h} + e^{-i\omega h}) - 2a\lambda\right) v^n$$

即 $G = 1 - 4a\lambda \sin^2 \frac{\omega h}{2}$. 要想 $|G| \leq 1$, 即要求 $|4a\lambda \sin^2 \frac{\omega h}{2}| \leq 2$.

这样 $a\lambda \leq \frac{1}{2}$ 时, Von Neumann 条件成立. 此时格式稳定. \square

总结一下: 例2.16、2.21恒不稳定, 例2.19、2.20恒稳定, 例2.17、2.18、2.22为条件稳定. 一般来说, 隐式格式稳定性较好, 但每一步计算量大; 显式格式为条件稳定, 但每一步计算量小.



Hirt 启示法

该方法的基本思想是, 将差分格式做 Taylor 展开, 留下最低阶的误差项, 略去高阶项, 得到所谓的**第一微分近似**或称**修正微分方程**. 一般来说若差分格式与原方程是**相容的**, 则只是在原方程基础上**增加了一些含小参数的较高阶偏导数项**. 如果修正方程是**适定的**, 那么原差分格式就是**稳定的**. 反之原差分格式就是**不稳定的**.

例 2.23 (对于对流方程 $u_t = au_x$ (设 $a > 0$), 采用格式:)

$$\frac{u_j^{n+1} - u_j^n}{\tau} = a \frac{u_{j+1}^n - u_{j-1}^n}{2h}$$

Taylor 展开后有:

$$[u_t]_j^n + \frac{\tau}{2}[u_{tt}]_j^n + \mathcal{O}(\tau^2) = a[u_x]_j^n + \frac{ah^2}{6}[u_{xxx}]_j^n + \mathcal{O}(h^4).$$

利用方程得 $u_{tt} = (u_t)_t = (au_x)_t = a(u_t)_x = a^2u_{xx}$.

Hirt 启示法

代入上式并保留最低阶项:

$$u_t = au_x - \frac{a^2\tau}{2}u_{xx} + \mathcal{O}(h^2 + \tau^2).$$

显然要让此抛物型方程是适定的, 需要 u_{xx} 前面的系数 $-\frac{a^2\tau}{2} > 0$. 而这不可能. 因而此方法是**恒不稳定的**. (结论与前面一致)

但如果使用隐式格式: $\frac{u_j^{n+1} - u_j^n}{\tau} = a \frac{u_{j+1}^{n+1} - u_{j-1}^{n+1}}{2h}.$

Taylor 展开后有: $[u_t]_j^{n+1} - \frac{\tau}{2}[u_{tt}]_j^{n+1} + \mathcal{O}(\tau^2) = a[u_x]_j^{n+1} + \mathcal{O}(h^2).$

保留最低阶项:

$$u_t = au_x + \frac{a^2\tau}{2}u_{xx} + \mathcal{O}(h^2 + \tau^2).$$

显然此抛物型方程是适定的, 因而此方法是**恒稳定的**.



Hirt 启示法

如果使用“迎风”格式: $\frac{u_j^{n+1} - u_j^n}{\tau} = a \frac{u_{j+1}^n - u_j^n}{h}$. Taylor 展开后有:

$$[u_t]_j^n + \frac{\tau}{2}[u_{tt}]_j^n + \mathcal{O}(\tau^2) = a[u_x]_j^n + \frac{ah}{2}[u_{xx}]_j^n + \mathcal{O}(h^2).$$

保留最低阶项:

$$u_t = au_x + \frac{ah - a^2\tau}{2}u_{xx} + \mathcal{O}(h^2 + \tau^2).$$

要让此抛物型方程是适定的, 需要 $ah - a^2\tau > 0$, 即 $a\frac{\tau}{h} < 1$, 此条件下该迎风格式是稳定的.

如果使用“顺风”格式: $\frac{u_j^{n+1} - u_j^n}{\tau} = a \frac{u_j^n - u_{j-1}^n}{h}$. Taylor 展开后有:

$$[u_t]_j^n + \frac{\tau}{2}[u_{tt}]_j^n + \mathcal{O}(\tau^2) = a[u_x]_j^n - \frac{ah}{2}[u_{xx}]_j^n + \mathcal{O}(h^2).$$

保留最低阶项: $u_t = au_x - \frac{ah + a^2\tau}{2}u_{xx} + \mathcal{O}(h^2 + \tau^2)$.

因为 $-(ah + a^2\tau) < 0$, 即该方法是恒不稳定的.



Hirt 启示法

Hirt 启示法的最大好处是可以很方便分析非线性问题:

例 2.24 (对双曲守恒律问题 $u_t + f(u)_x = 0$, 采用格式)

$$\frac{u_j^{n+1} - u_j^n}{\tau} + \frac{f(u_j^n) - f(u_{j-1}^n)}{h} = 0. \quad \text{做 Taylor 展开, 利用}$$

$$f(u_{j-1}^n) = f(u_j^n) - hf(u_j^n)_x + \frac{h^2}{2}f(u_j^n)_{xx} + \mathcal{O}(h^3),$$

$$\text{有} \quad u_t + \frac{\tau}{2}u_{tt} + f(u)_x - \frac{h}{2}f(u)_{xx} + \mathcal{O}(\tau^2 + h^2) = 0.$$

$$\begin{aligned} \text{用方程得: } u_{tt} &= (u_t)_t = (-f(u)_x)_t = -(f(u)_t)_x = -(f'(u)u_t)_x \\ &= (f'(u)f(u)_x)_x = 2f'(u)f''(u)(u_x)^2 + (f'(u))^2 u_{xx}, \end{aligned}$$

$$\text{及} \quad f(u)_{xx} = f''(u)(u_x)^2 + f'(u)u_{xx}.$$

$$\begin{aligned} \implies u_t + f(u)_x &= \frac{hf'}{2}(1 - \lambda f'(u))u_{xx} + \left(\frac{h}{2}f''(u) - \tau f'(u)f''(u)\right)(u_x)^2 \\ &\quad + \mathcal{O}(\tau^2 + h^2) \end{aligned}$$

Hirt 启示法

要想让上述抛物问题是适定的，我们需要

$$\frac{hf'}{2}(1 - \lambda f'(u)) \geq 0.$$

如果 $f'(u) \geq 0$, 需要 $1 - \lambda f'(u) \geq 0 \iff \lambda f'(u) \leq 1$.

显然若 $f'(u) < 0$, 上面系数不可能为正.

此时需要用

$$\frac{f(u_{j+1}^n) - f(u_j^n)}{h} \text{ 来替换 } \frac{f(u_j^n) - f(u_{j-1}^n)}{h}.$$

稳定性条件会变成 $\lambda f'(u) \geq -1$.



直接法

基本思想就是直接写出转移矩阵 $\mathbf{U}^{n+1} = A\mathbf{U}^n$.

这里 $\mathbf{U}^n = (\cdots, u_i^n, \cdots)^T$ 为离散点上的函数值组成的向量.

假设 $\tilde{\mathbf{U}}^n$ 为经过数值求解得到的近似值 (包含了舍入误差等), 那么令 $\mathbf{Z}^n = \mathbf{U}^n - \tilde{\mathbf{U}}^n$ 为误差向量, 我们有

$$\mathbf{Z}^{n+1} = A\mathbf{Z}^n \implies \mathbf{Z}^n = A^n\mathbf{Z}^0.$$

由“稳定性”定义, 我们希望有 $\|\mathbf{Z}^n\| \leq K \|\mathbf{Z}^0\| \iff \|A^n\| \leq M$



直接法

类似于 Fourier 分析的办法, 可以得到稳定性条件的一些结论:

- ① 必要条件为 $\rho(A) \leq 1 + M\tau$;
- ② 若 A 为正规矩阵, 上述条件也为充分条件.

来看一个例子.

例 2.25

考虑常系数扩散方程初边值问题:

$$\begin{cases} u_t = au_{xx}, & x \in (0, l), \quad t > 0, \\ u|_{t=0} = u_0(x), & x \in [0, l], \\ u(0, t) = u(l, t) = 0, & t > 0. \end{cases}$$

设 $a > 0$, $u_0(0) = u_0(l) = 0$.

直接法

如果采用显式格式

$$\frac{u_j^{n+1} - u_j^n}{\tau} = a \frac{u_{j+1}^n - 2u_j^n + u_{j-1}^n}{h^2}, \quad n > 0, j = 1, \dots, J-1.$$

初边值条件离散为 ($Jh = l$)

$$u_j^0 = u_0(x_j), j = 0, \dots, J; u_0^n = u_J^n = 0, n > 0.$$

令 $\lambda = \frac{\tau}{h^2}$, 将格式改写成

$$u_j^{n+1} = a\lambda u_{j-1}^n + (1 - 2a\lambda)u_j^n + a\lambda u_{j+1}^n, \quad j = 1, \dots, J-1$$

整理成向量形式

$$\begin{pmatrix} u_1^{n+1} \\ \vdots \\ \vdots \\ u_{J-1}^{n+1} \end{pmatrix} = \begin{pmatrix} 1 - 2a\lambda & a\lambda & & \\ & a\lambda & \ddots & \ddots \\ & & \ddots & \ddots & a\lambda \\ & & & a\lambda & 1 - 2a\lambda \end{pmatrix} \begin{pmatrix} u_1^n \\ \vdots \\ \vdots \\ u_{J-1}^n \end{pmatrix} + a\lambda \begin{pmatrix} u_0^n \\ 0 \\ \vdots \\ 0 \\ u_J^n \end{pmatrix}$$



直接法

一般可写成 $\mathbf{U}^{n+1} = A\mathbf{U}^n$. 当然其他两层显 (隐) 式格式也可以如此表示, 只是矩阵 A 会不同. 令 $\mathbf{e}^n = \mathbf{U}^n - \hat{\mathbf{U}}^n$, 其中 $\hat{\mathbf{U}}^n$ 表示实际计算值 (包含初值误差影响). 有

$$\mathbf{e}^{n+1} = A\mathbf{e}^n = \dots = A^{n+1}\mathbf{e}^0.$$

稳定性等价于 $\exists K > 0$, s.t. $\forall n\tau \leq T$, 都有 $\|\mathbf{e}^n\| \leq K$.

显然这等价于 $\|A^n\| \leq M$ (对于 $n\tau \leq T$ 一致有界)

我们希望通过计算 A 的特征值来得到 $\|A\|_2$ 的估计.

$$\text{令 } S = \begin{pmatrix} 0 & 1 & & \\ 1 & \ddots & \ddots & \\ & \ddots & \ddots & 1 \\ & & 1 & 0 \end{pmatrix} \in \mathbb{R}^{(J-1) \times (J-1)}, \text{ 有 } A = (1 - 2a\lambda)I + a\lambda S.$$



直接法

由 S 是实对称矩阵知其特征值为实数. 设 S 的特征值为 $r \in \mathbb{R}$, 相应特征向量为 $\mathbf{v} = (v_1, \dots, v_{J-1})^T \in \mathbb{R}^{J-1}$. 取 $v_0 = v_J = 0$,

$$S\mathbf{v} = r\mathbf{v} \implies v_{j-1} - rv_j + v_{j+1} = 0, \quad j = 1, \dots, J-1.$$

设上述齐次差分方程的解为 $v_j = \mu^j$ 形式, 代入有

$$\mu^2 - r\mu + 1 = 0 \implies \mu = \frac{r}{2} \pm \sqrt{\frac{r^2}{4} - 1}$$

由圆盘定理易见 $|r| \leq 2$, 即 $\mu = \frac{r}{2} \pm i\sqrt{1 - \frac{r^2}{4}}$. 即有 $|\mu| = 1$.

记 $\mu = e^{\pm i\theta}$, 即 $\cos \theta = \frac{r}{2}$, $\sin \theta = \sqrt{1 - \frac{r^2}{4}}$. 有

$$v_j = c_1 e^{ij\theta} + c_2 e^{-ij\theta}, \quad j = 0, 1, \dots, J$$

由 $v_0 = v_J = 0 \implies c_1 = -c_2$, $c_2 \sin J\theta = 0$. 因 $c_2 \neq 0$ (否则 $v_j \equiv 0$)

故有 $J\theta = k\pi \implies \theta_k = \frac{k\pi}{J}$, $r_k = 2 \cos \frac{k\pi}{J}$, $k = 1, \dots, J-1$.



直接法

即 A 的特征值为 (注意到 $h = \frac{l}{J}$)

$$\alpha_k = 1 - 2a\lambda + a\lambda \cdot 2 \cos \frac{k\pi h}{l} = 1 - 4a\lambda \sin^2 \frac{k\pi h}{2l}, \quad 1 \leq k \leq J-1$$

显然, 当 $a\lambda \leq \frac{1}{2}$ 时, $-1 \leq \alpha_k \leq 1$, 即 $\rho(A) < 1$.

因此该方法的稳定性条件即为 $a\frac{\tau}{h^2} \leq \frac{1}{2}$.

若采用古典隐式格式 $\frac{u_j^{n+1} - u_j^n}{\tau} = a \frac{\delta_x^2 u_j^{n+1}}{h^2}$.

类似地可以将格式写为

$$\mathbf{U}^{n+1} = \mathbf{B}^{-1} \mathbf{U}^n.$$

这里 $\mathbf{B} = (1 + 2a\lambda)I - a\lambda S$.



直接法

利用前面已经得到的 S 的特征值, 可以得到 \mathbf{B} 的特征值为

$$\begin{aligned}\mu_k(\mathbf{B}) &= 1 + 2a\lambda - a\lambda\mu_k(S) \\ &= 1 + 2a\lambda \left(1 - \cos \frac{kh\pi}{l}\right), \quad k = 1, 2, \dots, J-1.\end{aligned}$$

由此易见 $\mu_k(\mathbf{B}) > 1$, 即 $\mu_k(\mathbf{B}^{-1}) < 1$. 又因为 \mathbf{B} 为对称矩阵, 因而 \mathbf{B}^{-1} 也是对称矩阵 (自然是正规阵), 即此隐式格式是**无条件稳定的**!

但是直接法在实际应用中还有许多困难: 因矩阵 A 结构各异, 阶数很大, 不容易求得其特征值, 另外 A 不一定是正规阵...

因此实际计算时不常用直接法来估计稳定性.



能量不等式方法

Fourier 分析法仅适用于常系数线性方程 (组) 的初值问题, 对于一般问题 (变系数、非线性、初边值问题等), 能量不等式方法是分析其稳定性的有力工具.

例 2.26

考虑如下变系数对流方程初值问题

$$(2.47) \quad \begin{cases} u_t + a(x, t)u_x = 0, & x \in \mathbb{R}, \quad 0 < t \leq T, \\ u(x, 0) = u_0(x), & x \in \mathbb{R}. \end{cases}$$

我们先导出一个积分形式, 然后再考虑离散格式的稳定性.

一般设 $u_0 \in L^2(\mathbb{R}) \implies u(\cdot, t) \in L^2(\mathbb{R})$. 即有 $\lim_{x \rightarrow \pm\infty} u(x, t) = 0$.



能量不等式方法

将方程(2.47)乘以 $u(x, t)$ 并对 $x \in \mathbb{R}$ 积分得到

$$0 = \int_{\mathbb{R}} u \cdot u_t dx + \int_{\mathbb{R}} a(x, t) u \cdot u_x dx$$

令 $E(t) = \frac{1}{2} \int_{\mathbb{R}} u^2(x, t) dx$, 有

$$\begin{aligned} \frac{dE}{dt} &= \frac{d}{dt} \int_{\mathbb{R}} \frac{u^2}{2} dx = \int_{\mathbb{R}} u \cdot u_t dx = - \int_{\mathbb{R}} a(x, t) u u_x dx \\ &= - \int_{\mathbb{R}} a(x, t) \left(\frac{u^2}{2} \right)_x dx \quad \text{分部积分} \int_{\mathbb{R}} \frac{u^2}{2} \frac{\partial a(x, t)}{\partial x} dx \end{aligned}$$

设 $\sup_{x, t} \left| \frac{\partial a}{\partial x} \right| = M < +\infty$, 得

$$\frac{dE}{dt} \leq M \cdot E(t) \xrightarrow{\text{Gronwall 不等式}} E(t) \leq E(0) e^{Mt}$$

此即问题 (2.47) 的适定性.



能量不等式方法

下面假设 $a(x, t) \geq 0$, 用迎风型差分格式

$$(2.48) \quad \frac{u_j^{n+1} - u_j^n}{\tau} + a_j^n \frac{u_j^n - u_{j-1}^n}{h} = 0$$

来计算, 其中 $a_j^n = a(x_j, t_n)$. 下面分析格式 (2.48) 的稳定性.

令 $\lambda = \frac{\tau}{h}$, 将格式写成

$$(2.49) \quad u_j^{n+1} = u_j^n - \lambda a_j^n (u_j^n - u_{j-1}^n).$$

将 (2.49) 乘以 u_j^{n+1} , 并假设 $\lambda \max_{j,n} a_j^n \leq 1$, 有

$$\begin{aligned} \left(u_j^{n+1}\right)^2 &= (1 - \lambda a_j^n) u_j u_j^{n+1} + \lambda a_j^n u_{j-1}^n u_j^{n+1} \\ &\leq \frac{1 - \lambda a_j^n}{2} [(u_j^n)^2 + (u_j^{n+1})^2] + \frac{\lambda a_j^n}{2} [(u_{j-1}^n)^2 + (u_j^{n+1})^2] \\ &= \frac{1}{2} (u_j^{n+1})^2 + \frac{1 - \lambda a_j^n}{2} (u_j^n)^2 + \frac{\lambda a_j^n}{2} (u_{j-1}^n)^2 \end{aligned}$$



能量不等式方法

$$(2.50) \quad \implies (u_j^{n+1})^2 \leq (u_j^n)^2 + \lambda a_j^n [(u_{j-1}^n)^2 - (u_j^n)^2]$$

将 (2.50) 乘以步长 h 且对 j 求和, 记 $\|u^n\|_h^2 = h \sum_{j=-\infty}^{+\infty} (u_j^n)^2$, 有

$$(2.51) \quad \|u^{n+1}\|_h^2 \leq \|u^n\|_h^2 + \lambda h \sum_{j=-\infty}^{+\infty} \left(\frac{a_{j+1}^n - a_j^n}{h} \right) h (u_j^n)^2$$

如果 $\sup_{x,t} \left| \frac{\partial a}{\partial x} \right| \leq C \implies \sup_{x,t} \left| \frac{a(x+h, t) - a(x, t)}{h} \right| \leq C$

利用 $\lambda = \frac{\tau}{h}$, 由 (2.51) 得

$$\|u^{n+1}\|_h^2 \leq \|u^n\|_h^2 + C\tau \sum_{j=-\infty}^{+\infty} h (u_j^n)^2 = (1 + C\tau) \|u^n\|_h^2$$

$$\implies \|u^n\|_h^2 \leq (1 + C\tau)^n \|u^0\|_h^2 \leq e^{CT} \|u_0\|_h^2, \quad \forall n\tau \leq T.$$



能量不等式方法

上面关于 $a(x, t)$ 的条件可以放宽为

(2.52) $a(x, t)$ 关于 x 满足 Lipschitz 连续性条件, 且常数不依赖于 t .

这样, 若 $a(x, t)$ 满足 (2.52), 且

$$(2.53) \quad \lambda \max_{j,n} a_j^n \leq 1,$$

那么格式 (2.48) 是稳定的.



能量不等式方法

例 2.27 (再看一个方程组的例子)

考虑一阶线性双曲方程组

$$\begin{cases} \mathbf{u}_t = A(x, t)\mathbf{u}_x, & \mathbf{u} \in \mathbb{R}^m, A \in \mathbb{R}^{m \times m}, A^T = A, \\ \mathbf{u}|_{t=0} = \mathbf{u}_0(x). \end{cases}$$

若使用差分格式

$$(2.54) \quad \mathbf{u}_j^{n+1} = \sum_{k=-s}^s B_k(x_j, t_n; \tau, h) T^k \mathbf{u}_j^n$$

来求解. 其中有 (相容性)

$$(2.55) \quad \sum_{k=-s}^s B_k = I, \quad \frac{\tau}{h} \sum_{k=-s}^s k B_k = A + \mathcal{O}(\tau).$$

我们先给出一个引理.

能量不等式方法

引理 2.2

如果 B 为对称非负定矩阵, 则 $|(B\mathbf{u}, \mathbf{v})| \leq \sqrt{(B\mathbf{u}, \mathbf{u})}\sqrt{(B\mathbf{v}, \mathbf{v})}$.

◁ 将 B 对角化: $B = S\Lambda S^T$, 其中 S 为正交阵, Λ 对角阵 (元素非负).

$$\begin{aligned} \Rightarrow |(B\mathbf{u}, \mathbf{v})| &= |(\Lambda(S^T\mathbf{u}), S^T\mathbf{v})| \leq \sqrt{(\Lambda(S^T\mathbf{u}), (S^T\mathbf{u}))}\sqrt{(\Lambda S^T\mathbf{v}, S^T\mathbf{v})} \\ &= \sqrt{(B\mathbf{u}, \mathbf{u})}\sqrt{(B\mathbf{v}, \mathbf{v})}. \quad \triangleright \end{aligned}$$

对于差分格式 (2.54) 的稳定性我们有以下定理:

定理 2.10

若格式 (2.54) 中的 B_k 为对称非负定矩阵, 且关于 x 为 Lipschitz 连续的, 存在 $\sigma > 0$ s.t. $\frac{\tau}{h} \geq \sigma$, 则该格式是稳定的.

◁ 用向量 \mathbf{u}_j^{n+1} 与 (2.54) 做内积:



能量不等式方法

$$\begin{aligned}
 (\mathbf{u}_j^{n+1}, \mathbf{u}_j^{n+1}) &= \sum_{k=-s}^s (B_k T^k \mathbf{u}_j^n, \mathbf{u}_j^{n+1}) \\
 &\leq \sum_{k=-s}^s \sqrt{(B_k T^k \mathbf{u}_j^n, T^k \mathbf{u}_j^n)} \sqrt{(B_k \mathbf{u}_j^{n+1}, \mathbf{u}_j^{n+1})} \\
 &\leq \sum_{k=-s}^s \frac{1}{2} \left[(B_k T^k \mathbf{u}_j^n, T^k \mathbf{u}_j^n) + (B_k \mathbf{u}_j^{n+1}, \mathbf{u}_j^{n+1}) \right] \\
 &= \frac{1}{2} \sum_{k=-s}^s \left[(B_k(x_{j+k}) \mathbf{u}_{j+k}^n, \mathbf{u}_{j+k}^n) + ((B_k(x_j) - B_k(x_{j+k})) \mathbf{u}_{j+k}^n, \mathbf{u}_{j+k}^n) \right] \\
 &\quad + \frac{1}{2} (\mathbf{u}_j^{n+1}, \mathbf{u}_j^{n+1}) \quad \leftarrow \text{利用了 } \sum_{k=-s}^s B_k = I
 \end{aligned}$$



能量不等式方法

记 $\|\mathbf{u}^n\|_h^2 = \sum_j h(\mathbf{u}_j^n, \mathbf{u}_j^n)$, 将上式乘以 h 并对 j 求和得:

$$\|\mathbf{u}^{n+1}\|_h^2 \leq h \sum_{k,j} [(B_k(x_{j+k})\mathbf{u}_{j+k}^n, \mathbf{u}_{j+k}^n) + ((B_k(x_j) - B_k(x_{j+k}))\mathbf{u}_{j+k}^n, \mathbf{u}_{j+k}^n)]$$

B_k 关于 x 满足 Lipschitz 连续性, 有 $\|B_k(x_j) - B_k(x_{j+k})\| \leq L|k|h$.

代入上式有

$$\begin{aligned} \|\mathbf{u}^{n+1}\|_h^2 &\leq h \sum_{k,j} [(B_k(x_j)\mathbf{u}_j^n, \mathbf{u}_j^n) + L|k|h (\mathbf{u}_j^n, \mathbf{u}_j^n)] \\ &= \|\mathbf{u}^n\|_h^2 (1 + Ls(s+1)h) \end{aligned}$$

又有 $\frac{\tau}{h} \geq \sigma > 0 \implies h \leq \frac{\tau}{\sigma}$.

令 $M = \frac{Ls(s+1)}{\sigma} \implies \|\mathbf{u}^{n+1}\|_h^2 \leq (1 + M\tau) \|\mathbf{u}^n\|_h^2$. 证毕. \triangleright

